

溶接鋼管の軸圧縮局部座屈に関する基礎的研究

大阪大学工学部 正会員 小松 定夫
大阪大学工学部(院)学生員○高岡 義夫

1. まえがき

近年溶接技術の進歩により、溶接鋼管材が鋼構造物の主要部材に用いられることが頻繁となった。このような溶接鋼管構造の発達に伴い、このたび鋼道路橋設計示方書の改訂に際して、鋼管に関する規定が新しく加えられたことになったのは当然のことと考える。本文では、土木工学の分野で対象となる比較的小さな径厚比 R/t の鋼管の局部座屈についてこの基礎的研究の一環として、初期変形及び残留応力を有する鋼管の圧縮座屈実験を行い、これらの特性を明確にするため若干の検討を加えた。

2. 実験

各実験用供試体採取位置をFig.1に示す。図中R-1,2は残留応力測定用であり、C-1,2,3は短柱圧縮試験用、C-4,5,6は座屈実験用である。各試験体の概略図及び寸法をFig.2, Table 1に示す。

(a) 残留応力測定実験 2方向Wire Strain

Gauge 及び Contact Gauge を用いて、部材軸方向残留応力、内周方向残留応力の各々円周方向分布を求めた。結果の一部をFig.3に示す。

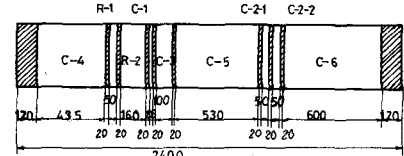


Fig.1 Position of Test Body

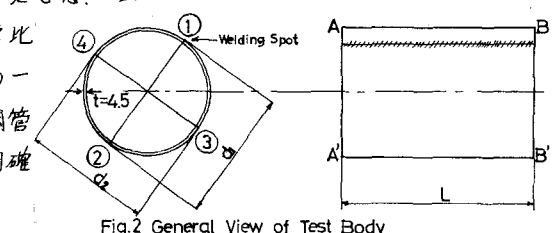
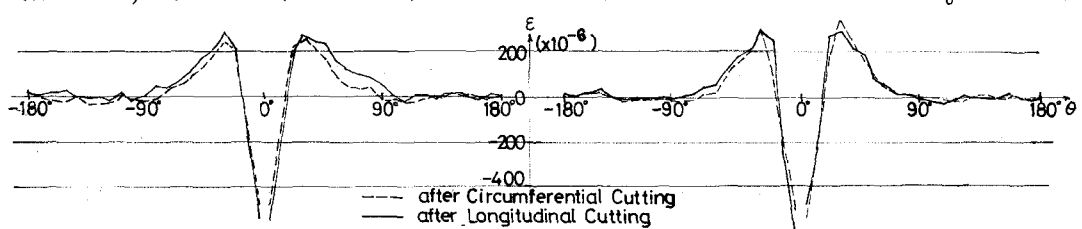


Fig.2 General View of Test Body

Test Body No.	Surface-A		Surface-B		Length L				R/t	L/R	Z^*
	d_1	d_2	d_1	d_2	(1)	(2)	(3)	(4)			
C-1	102.5	100.0	102.5	100.0	25.0	25.0	24.5	24.5	11.1	0.125	0.66
C-2-1	102.0	101.5	101.5	102.0	50.0	50.0	50.0	50.0	11.1	0.25	2.65
C-2-2	102.0	101.0	101.5	101.0	50.0	50.0	50.0	50.0	11.1	0.25	2.65
C-3	102.0	101.0	101.5	101.0	100.5	100.0	100.0	100.0	11.1	0.50	10.50
C-4	100.5	103.0	102.0	101.0	435.0	135.0	135.0	135.0	11.1	2.175	200.37
C-5	102.0	101.0	102.0	100.5	530.0	530.0	530.0	530.0	11.1	2.65	297.14
C-6	130.0	100.0	101.5	103.0	600.0	599.5	599.5	599.5	11.1	3.00	381.19

$$* Z = \sqrt{1 - \beta^2 (R/t)^2} (L/R)^2 \quad (\beta = 0.3)$$

Table 1 Size of Test Body



(a) by Wire Strain Gauge

(b) by Contact Gauge

Fig.3 Released Axial Strain Distribution in the Circumferential Direction (Average)

(b) 短柱圧縮試験 見かけの応力-ひずみ曲線を得るために、短柱圧縮試験を行った。

(c) 座屈実験 初期たわみ測定装置により、初期たわみを測定した後、Fig.4に示す載荷装置により、軸圧縮を加えた。各試験体の最大耐力 P_{max} 及び極限座屈応力 σ_c をTable-2に示す。短柱試験の結果もあわせて示す。座屈パターンは各試験体とも、端部に近い下部断面において、内周方向に一様にふくらみ出すようになっていた。しかし、一旦局部的にたわみが増大すれば上部断面においても半径方向にたわみ出している。

ば、その個所以外ではたわみ増は鈍化し、局部座屈に至ると思われる。Fig.5は σ_{av} ～ δ 曲線であり、Fig.6は σ_{av} ～ δ_θ (円周方向垂直応力)曲線である。

3. 結果の考察

代表的な理論結果と本実験結果を対比して、若干の考察を加えれば次のとおりである。

(a) G. Gerard の式

$$\sigma_{cr} = \eta C E / (\frac{R}{t})$$

$$\text{ここで } \eta = \sqrt{\frac{1 - \nu^2}{1 - \nu_p^2}} \cdot \frac{E_s}{E} \left(\frac{E_t}{E} \right)^{\frac{1}{2}}$$

$$C = 1 / \sqrt{3(1 - \nu^2)}$$

$$\nu_p = \frac{1}{2} - \frac{E_s}{E} \cdot \left(\frac{1}{2} - \nu \right)$$

(b) L. H. Donnell ～ C. C. Wan

(a)で用いた式のCを初期不整パラメータ Γ の関数として与える。

(c) L. H. N. Lee

初期たわみ ψ_0 を無次元量 $V = 2\psi_0/t$ で表わし、 $V=0$ 及び $V=0.05$ をパラメータとして σ_{cr} を与えている。

(d) S. C. Batterman の式

$$\sigma_{cr} = (E / (k(34 + 2 - 4\nu))\lambda - (1 - 2\nu)^{\frac{1}{2}}) / (\frac{R}{t})$$

$$\text{ここで } \lambda = E / E_t, \psi = E / E_s$$

これらの式の計算結果をFig.7に示す。また(a)(c)についてでは残留応力を考慮して計算しても数%しか σ_{cr} が減少しなかった。

4. 結論

今回の実験に用いた程度の長さの鋼管では、座屈は端部で生じ、座屈パターンは円周方向に一様である。又極限座屈応力については、 R/t の大なる範囲において合理的であると言われてきたG. Gerardの式に含まれる座屈パラメータ C を Γ の関数としたDonnell～Wanの修正式が R/t の比較的小さな範囲においても適用されるのがないかと考える。

5. あとがき 今回の実験供試体、実験装置その他製作に協力して頂いた川崎重工業株式会社に感謝する次第である。

Test Body No.	P_{max} (t)	σ_{cr} (kg/cm ²)
C - 1	200 以上	3577.0
C - 2 - 1	178.9	3199.5
C - 2 - 2	167.9	3002.9
C - 3	167.8	3001.1
C - 4	155.6	2782.9
C - 5	156.2	2793.6
C - 6	156.3	2795.4

Table 2 Critical Load and Critical Stress

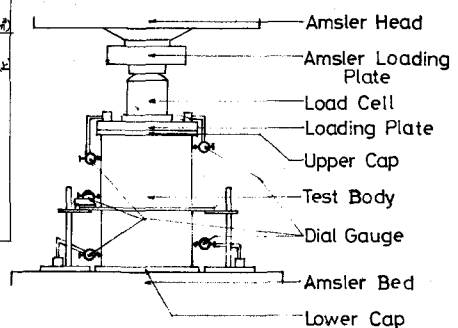


Fig.4 General View of Buckling Test

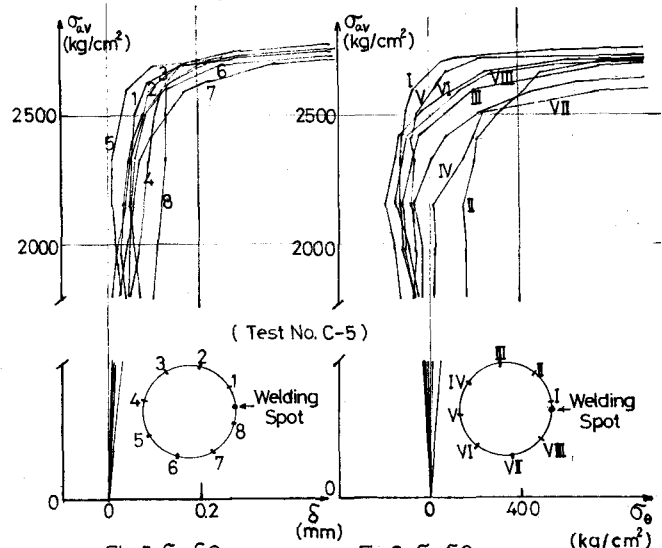


Fig.5 σ_{av} - δ Curves

Fig.6 σ_{av} - δ_θ Curves

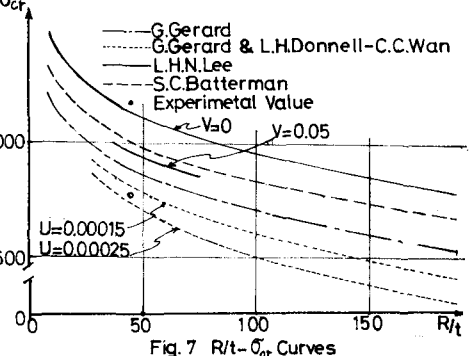


Fig.7 R/t - σ_{cr} Curves